ALL.
7

AGIP - SHELL
SETTORE OPERATIVO ADRIATICO

POZZO N° **B. R16. AS/1 (EDMOND 1 ~~TRIS~~ TER)**

Breccia
Conglomerato
Ghiaia
Arenaria
Sabbia

Silt
Argilla
Argilla sabbiosa
Marna
Marna sabbiosa
Marna calcarea
Marna dolomitica
Argille nere
Argilloscisti
Gesso e anidrite
Salgemma

Calcare marnoso
Calcare

Calcare arenaceo
Calcare con selce

Calcare oolitico
Calcare biogenico

Calcare dolomitico
Dolomia
Dolomia calcarea
Rocce metamorfiche
Rocce piroclastiche

Rocce magmatiche effusive
Rocce magmatiche intrusive

F Contatto anomalo di natura tettonica
Trasgressione
Terreni fratturati

Acqua dolce
Acqua salata
Tracce di gas
Gas
Tracce di olio
Olio

Assorbimenti
Perdite circolaz.

Carote di fondo con parte ricuperata
Pendenze
F.T.T.
○ Carote di parete
Tracce di gas
Manifestazioni di gas
● Tracce di olio
● Manifestazioni di olio
■ Bitume
Manifestazioni di acqua

Tubi cementati
Tubi finestrati
Tubi forati con fucile
Tubi presi dal terreno
Tappi di cemento
Squeezing
Bridge Plug
Foro deviato
Prova di tester riuscita
Prova di tester non riuscita
Tubing con packer di produzione
Pompa

Stato *ITALIA - MARE ADRIATICO*
Carta — F° — Tav. — Scala

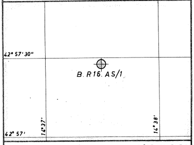

Coord geog. Lat *42° 57' 27",029 N.* Long *14° 37' 29",476 E. Gr*
Coord piane Lat Long

σ Fossili in genere
▲ Selce
Concrezioni, noduli
> Solfo
▫ Pirite
▦ Sostanze carboniose
∧ Mica
* Pellets

Profilo aggiornato al *Settembre 1970*

Impianto *S C A R A B E O II°*
Inizio perforazione *28.1.1970*
Risultato del pozzo: *S T E R I L E*
Profondità totale m. *4195,50*
Ultimata perforazione *28.3.1970*
Situazione del pozzo: *ABBANDONATO*

QUOTA r.l.m.
Tavola Rotary m *+33,00*
Prima flangia m. —
Fondo marino m *-131,00*

CUTTINGS	Formazioni	Età	PROFONDITÀ piedi metri	Profilo Litologico	DIAGRAMMA SCHLUMBERGER: POTENZIALE SPONTANEO millivolt	Mineraliz. Manifest.	RESISTIVITÀ ohm²m/m	Ecologia	Carote	DESCRIZIONE PALEONTOLOGICA	Zone faunistiche	PROVE ESEGUITE	TUBAZIONI: Ø 30", Ø 20", Ø 13"3/8, Ø 9"5/8	OSSERVAZIONI	Avanzamento

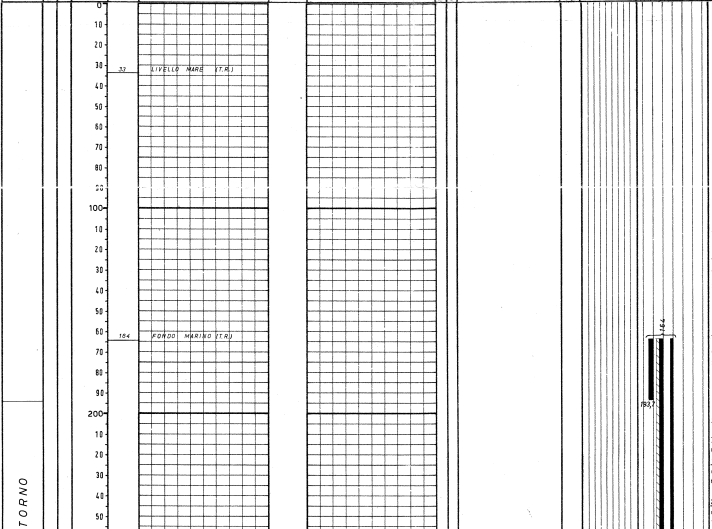

Tutte le profondità sono riferite al piano tavola rotary.

TUBAZIONI

Ø 30" a m.193,70

Infissa con jetting per m.29,70.

Ø 20" a m.434

Cementata fino a fondo mare con qli 750 di Italcementi classe A.

Ø 13"3/8 a m.1194

D.V. a m 498
Cementata in due stadi:
1° stadio
da m 700 - 1194 con qli 615 di GEOCEM A

2° stadio
da m 350 - 498 con qli 180 di GEOCEM A

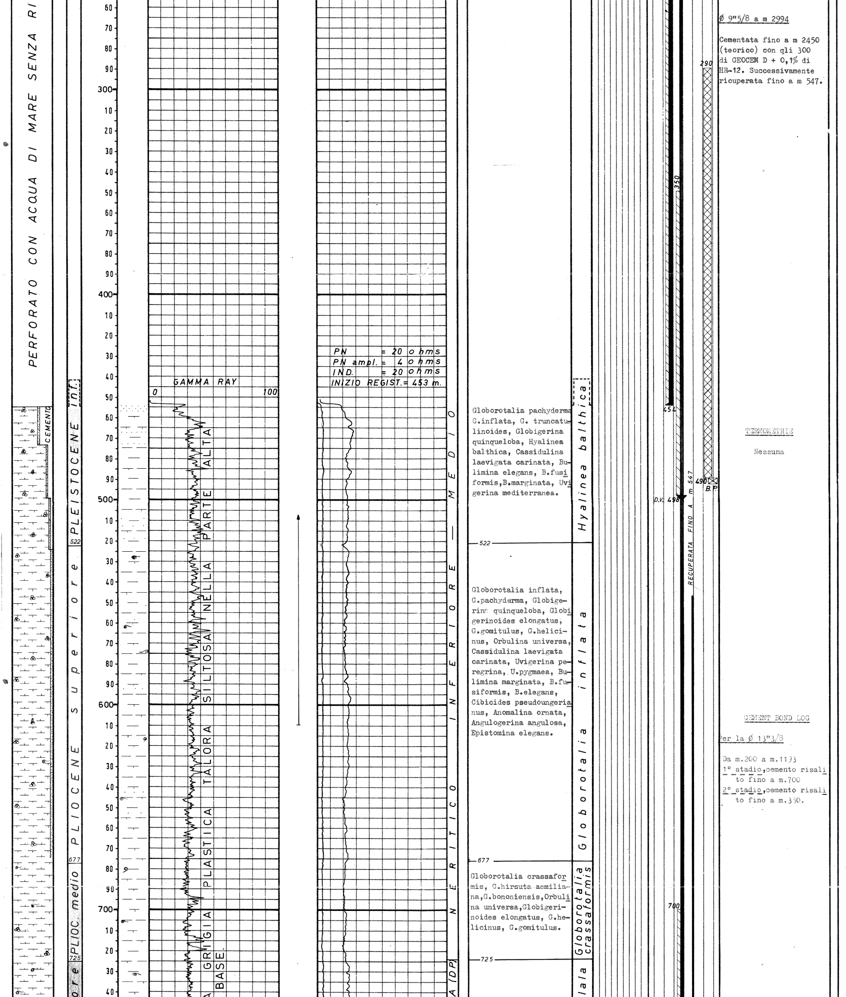

Globorotalia pachyderma G.inflata, G. truncatulinoides, Globigerina quinqueloba, Hyalinea balthica, Cassidulina laevigata carinata, Bulimina elegans, B.fusiformis, B.marginata, Uvigerina mediterranea.

Globorotalia inflata, G.pachyderma, Globigerina quinqueloba, Globigerinoides elongatus, G.gomitulus, G.helicinus, Orbulina universa, Cassidulina laevigata carinata, Uvigerina peregrina, U.pygmaea, Bulimina marginata, B.fusiformis, B.elegans, Cibicides pseudoungerianus, Anomalina ornata, Angulogerina angulosa, Epistomina elegans.

Globorotalia crassaformis, G.hirsuta aemiliana, G.bononiensis, Orbulina universa, Globigerinoides elongatus, G.helicinus, G.gomitulus.

Ø 9"5/8 a m 2994

Cementata fino a m 2450 (teorico) con qli 300 di GEOCEM D + 0,1% di HR-12. Successivamente ricuperata fino a m 547.

TERMOMETRIE

Nessuna

CEMENT BOND LOG

Per la Ø 13"3/8

Da m.200 a m.1193

1° stadio, cemento risalito fino a m.700

2° stadio, cemento risalito fino a m.350.

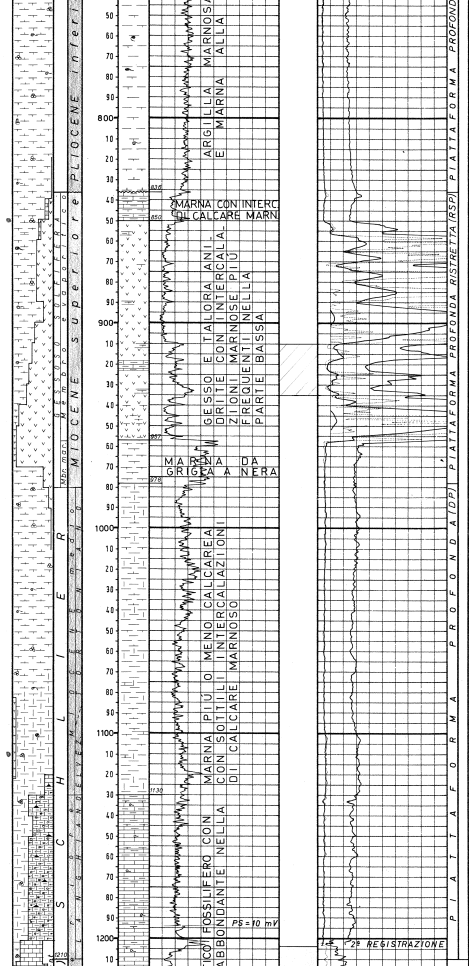

Globorotalia puncticulata, G.puncticulata padana, G.hirsuta, Sphaeroidinellopsis spp., Orbulina universa, Globigerinoides spp., Cibicides italicus, Marginulina costata, M.hirsuta, Vulvulina pennatula, Uvigerina rutila, U.pygmaea, Anomalina helicina.

Globorotalia puncticulata

— 836 —

Cyprideis pannonica, Orbulina universa, O.suturalis, Globigerinoides spp., Bolivina cf.leonardii, Uvigerina rutila, Eponides haidingeri, Cibicides pseudoungerianus, C.italicus.

Cyprideis pannonica

— 978 —

1) Globorotalia menardii, G.scitula, G.scitula ventriosa, Orbulina universa, O.bilobata, Globigerina nepenthes, G.gr.falconensis, Uvigerina rutila, U.barbatula, Ehrenbergina dinapolii.
2) Globorotalia mayeri, G. acrostoma, Orbulina suturalis, Globigerinoides trilobus, Globoquadrina dehiscens, Uvigerina barbatula, U.rutila, U.auberiana, Anomalina grosserugosa, Planulina renzi, Bolivina reticulata.

Globorotalia menardii

Orbulina universa

— 1130 —

Globigerina venezuelana, Globorotalia acrostoma, G.mayeri, Globigerinoides trilobus, G. bisphericus, Globoquadrina altispira, G.dehiscens, Uvigerina barbatula, U. auberina, Bolivina reticulata, Anomalina grosserugosa.

Globigerinoides trilobus

— 1210 —

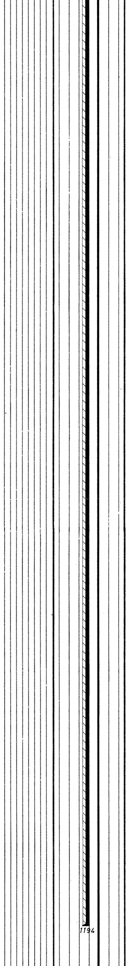

PROVE DI VERTICALITA'

A m. 892 = 1° 15'
" 1198 = 1° 30'
" 1505 = 1° 00'
" 1704 = 4° 30'
" 1742 = 4° 30'
" 1870 = 5° 00'
" 2051 = 5° 15'
" 2180 = 7° 00'
" 2314 = 5° 00'
" 2367 = 5° 00'
" 2494 = 5° 00'
" 2555 = 5° 00'
" 2540 = 5° 00'
" 2998 = 3° 00'
" 3070 = 3° 00'
" 3290 = 3° 30'
" 3423 = 3° 30'
" 3593 = 5° 30'
" 3843 = 5° 00'
" 3990 = 7° 15'

CUTTINGS

Da m. 454- 750 ogni 25 m.
" 750-1700 " 10 m.
" 1700-1725 " 5 m.
" 1725-4195,5 " 3-4 m.

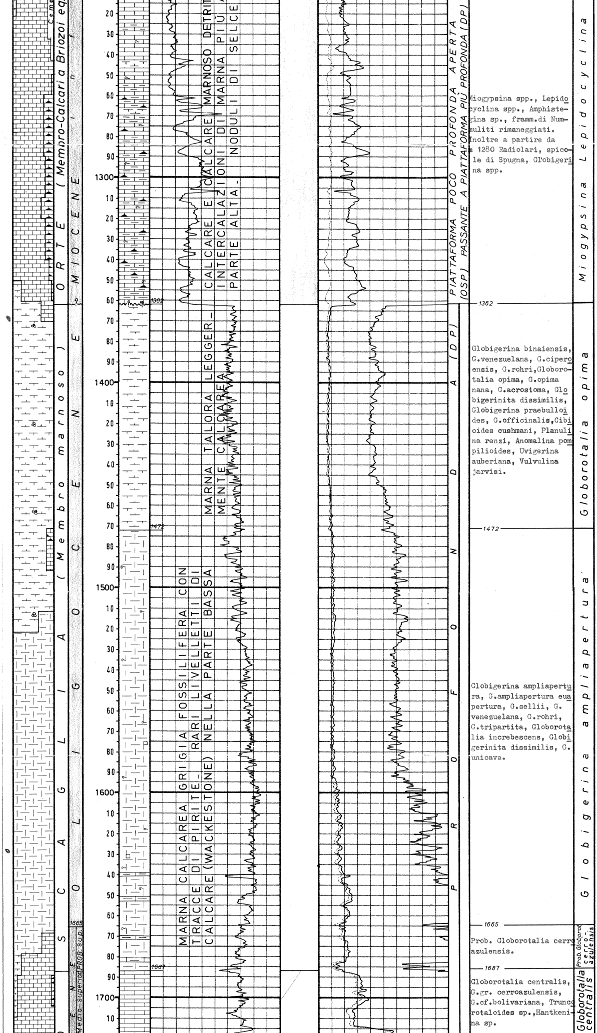

Miogypsina spp., Lepidocyclina spp., Amphistegina sp., framm. di Nummuliti rimaneggiati. Inoltre a partire da m 1280 Radiolari, spicole di Spugna, Globigerina spp.

— 1362 —

Globigerina binaiensis, G. venezuelana, G. ciperoensis, G. rohri, Globorotalia opima, G. opima nana, G. acrostoma, Globigerinita dissimilis, Globigerina praebulloides, G. officinalis, Cibicides cushmani, Planulina renzi, Anomalina pompilioides, Uvigerina auberiana, Vulvulina jarvisi.

— 1472 —

Globigerina ampliapertura, G. ampliapertura euapertura, G. sellii, G. venezuelana, G. rohri, G. tripartita, Globorotalia increbescens, Globigerinita dissimilis, G. unicava.

— 1665 —

Prob. Globorotalia cerroazulensis.

— 1687 —

Globorotalia centralis, G. gr. cerroazulensis, G. cf. bolivariana, Truncorotaloides sp., Hantkenina sp.

CAROTE DI FONDO

Prelevate n°3 tutte con recupero.

N°1) m. 2540 - 2548

Recupero m. 1,50 = 20%
Calcare beige compatto di tipo Grainstone contenente frammenti di mudstone. Evidente presenza di fossili (Gasteropodi, lamellibranchi, ostracodi).
La carota è interessata da numerose fratture verticali e vacuoli di diametro fino a 3 centimetri talora riempiti da cristalli di calcite.
Manifestazioni: nessuna
Pendenze : non evidenti
Formazione: Massiccio
Età: Lias inferiore.

N°2) m. 3568 - 3573

Recupero m. 5 = 100%
Calcare beige di tipo Grainstone e Packstone talora poroso per vacuoli e porosità intergranulare.
Fratturato in parte e ricementato da anidrite.
Gli allochimici sono per lo più costituiti da Oncoliti, litoclasti e frammenti arrotondati di fossili.
Manifestazioni: nessuna
Pendenze: non evidenti
Formazione: Massiccio
Età: Lias inf. probabile

N°3) m. 4192 - 4195,50

Recupero m. 2,50 = 70%
Dolomia compatta di colore grigio- beige derivante dalla dolomitizzazione di calcari di tipo Wackestone e Mudstone di cui è ancora parzialmente riconoscibile la struttura primaria.
La carota presenta scarsa porosità di tipo vacuolare e intercristallina.
Nella parte bassa si osservano microfratture ricementate da anidrite.
Manifestazioni: nessuna
Pendenze: non evidenti
Formazione: Burano, membro dolomitico
Età: Trias superiore

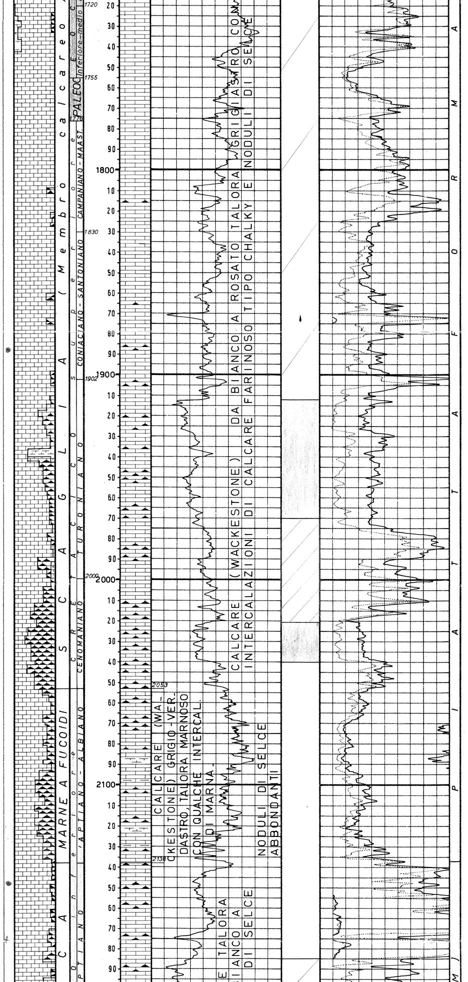

1720	Globorotalia aragonensis G,bullbrooki, G.cf.lehneri, G.cf. palmerae, Globigerina spp., Hantkenina sp.	Gl. bullbrooki Gl. aragonens.
1755	Globorotalia velascoensis,G.pseudomenardii,Globigerina	Globor. velascoensis
1767	Piccole Globigerine e Globorotalie non carenate.	Picc. globig.
1776	Globorotruncana spp., G.contusa,G.calcarata,G.fornicata, G.stuarti, Heterohelix spp.	Globotr. stuarti
1830	Globotruncana spp., G.lapparenti tricarinata, G.lapparenti bulloides, Heterohelix sp., Ticinella sp., prismi di Inoceramus, frammenti di Rudiste.	Globotruncana lapparenti
1902	Globotruncana sp.,G.helvetica,G.lapparenti inflata, G.renzi,Praeglobotruncana stephani,Radiolari,Oligostegina, Pithonella,Ticinella sp. Heterohelix sp.	Globotruncana helvetica
2000	Rotalipora appenninica, Ticinella sp.,Hedbergella pianispira, Radiolari.	Rotalipora appennin.
2053	Ticinella sp. T.roberti, Hedbergella sp., H.trochoidea, Planomalina buxtorfi, Radiolari, spicole di Spugna.	Ticinella roberti e Hedbergella
2138		di Spugna

Tipo_AS (acqua di mare)

m. 193 - 454 D= 1080
m. 454 -1200 D= 1450

Tipo_LS (lignosulfonato)

m.1200 -1347 D=1110
m.1347 -2250 D=1130
m.2250 -2648 D=1100
m.2648 -2651 D=1070
m.2651 -2700 D=1050
m.2700 -3000 D=1100
m.3000 -4195,5 D=1100

ASSORBIMENTI

Da m.1200 -1202 mc 1,2
durante discesa casing
Ø 13"3/8

Da m.2643 -2651 mc 150

A m.2994 mc 13
durante tubaggio e cementazione Ø 9"5/8

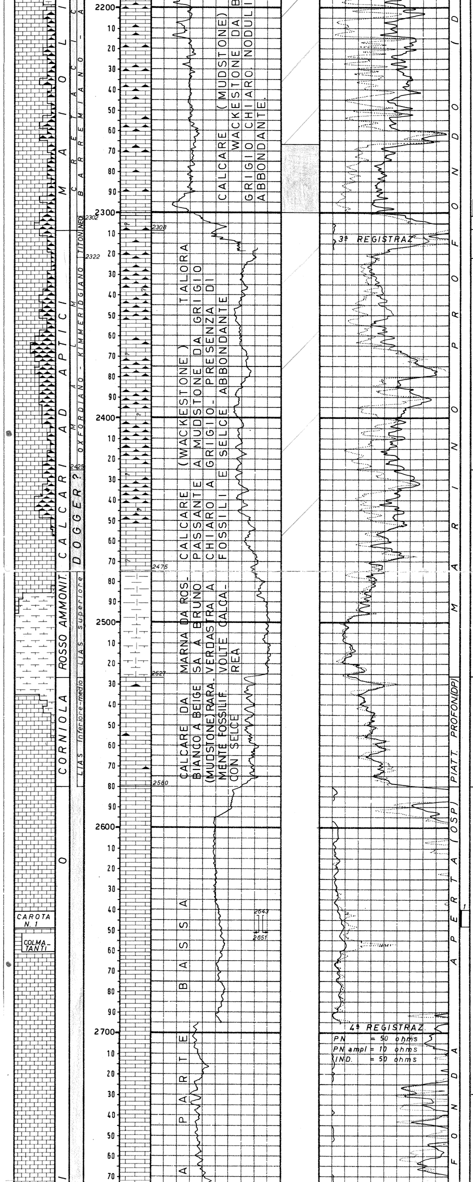

Radiolari, spicole di Spugna.

Tintinnopsella spp., Calpionella spp., Calpionellites spp., Radiolari, spicole di Spugna.

2302

Tintinnopsella spp. Calpionella spp. Calpionellites spp. Radiolari e spicole di Spugna.

2308

Calpionella alpina, C. elliptica, Saccocoma, Globochaete, Radiolari, "filamenti" di Lamellibranchi pelagici.

2322

Saccocoma, Globochaete, "filamenti" di Lamellibranchi pelagici, Radiolari, spicole di Spugna, spicole di Spugna "reniformi", framm. di Aptychus, Crinoidi, Echinidi, Molluschi.

2425

Plotoglobigerina?, Saccocoma?, Globochaete, Radiolari, spicole di Spugna, "filamenti" di Lamellibranchi pelagici.

2475

Radiolari, "filamenti", Globochaete, spicole di Spugna, piccole Gasteropodi, Cefalopodi, Frondicularia.

2527

Radiolari, spicole, "filamenti", Globochaete, Lagenidi.

2580

Macroporella sp., Solenopora sp. Palaeodasycladus sp., Thaumatoporella parvovesiculifera, Cayuexia sp., Halimeda sp., Alghe Dasycladacee e Codiacee, Textulariidae, Ammodiscidae, Valvulinidae, Verneulinidae, Trochamminidae, Trocholina sp., Ostracodi o framm/ di: Gasteropodi, Lamellibranchi, Echinidi e Crinoidi.

2730

Radiolari e spicole

Tintinnopsella ecc.

C. alpina C. elliptica

Saccocoma e Filamenti

Protoglobigerina

Radiolari e spicole di Spugna

Palaeodasycladus mediterraneous

2730

2450 (Teorico)

2750

MANIFESTAZIONI

Tracce di gas nel fango da m.508 a m. 610 durante la perforazione e a m.1872 nel cuscino di fondo.

Tracce di' olio bituminoso secco nei cuttings da m.3717 a m.3730; m.3756 a m.3790 e a m.3900.

SCHLUMBERGER

IES	m. 453,00-1201,20 m.1193,30-2315,20 m.2250,00-2697,00 m.2670,00-2999,00 m.2994,30-4188,00
SL-GR	m. 453,00-1198,50
SNP-GR	m.1193,30-2315,20 m.2250,00-2697,30 m.2670,00-2999,30 m.2994,30-4187,80
CBL	m. 200,00-1193,00
BSL-C	m.1193,30-2995,80 m.2994,30-4187,20
CDM	m.1194,00-2996,00 m.2997,00-4192,00
CIS	m.4190 per prove di velocità.

PERFORAZIONE DELLA COLONNA

Nessuna

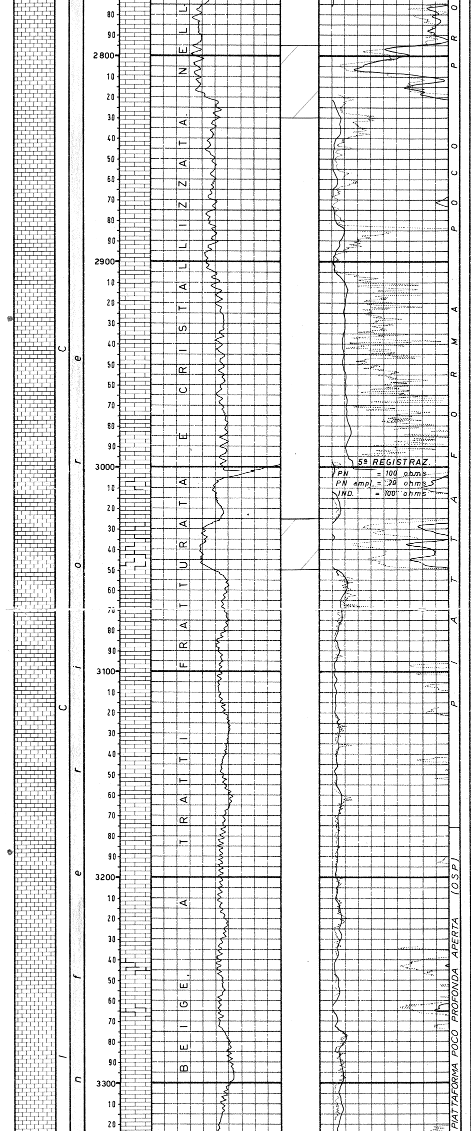

Macroporella sp., Thaumatoporella sp., Cayeuxia sp., Diplopora? sp., Polkiloporella? sp., Halimeda sp., altri frammenti di Alghe Dasycladacee e Codiacee. Inoltre Textulariidae, Ammodiscidae, Valvulinidae, Lagenidae, Coproliti?, Ostracodi e frammenti di: Molluschi, Echinidi e Crinoidi.

3176

Microfacies analoghe a quelle dell'intervallo 2730-3176, contenenti inoltre Coproliti probabili e un po più comuni a m 3176, 3259, 3423 e 3468, resti organici di incerta attribuzione.

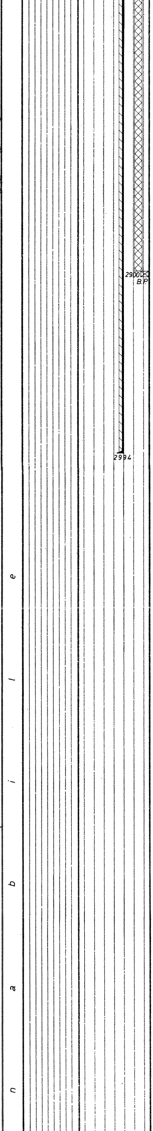

TAPPI DI CEMENTO

1) m.4020 - 3820
con q.106 di GEOCEM D
+ 0,3% di HR-12.
2) m.2900 - 2750
con q.83 di Geocem D

3) m. 490 - 290
con q.200 di GEOCEM A

BRIDGE PLUGS

1) A m.2900 nella Ø 9"$\frac{5}{8}$
2) A m.490 nella 13"$\frac{3}{8}$

SQUEEZINGS

Nessuno

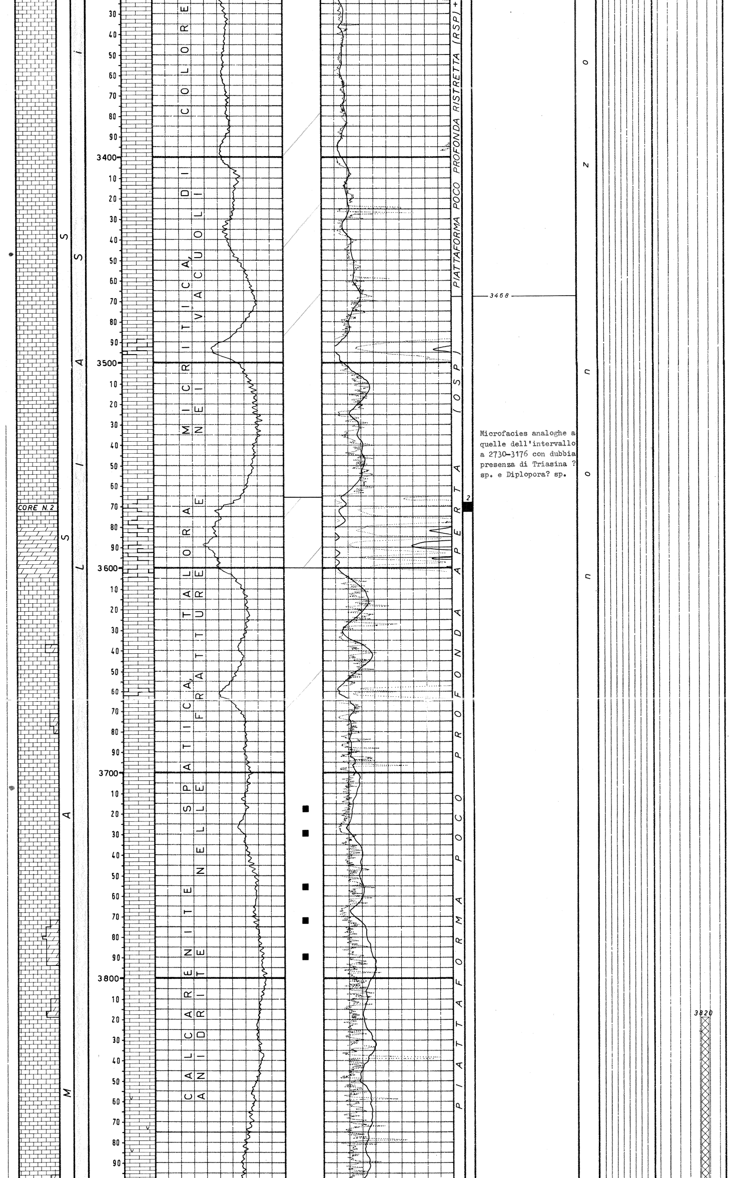

Microfacies analoghe a quelle dell'intervallo a 2730-3176 con dubbia presenza di Triasina ? sp. e Diplopora? sp.

PROVE DI STRATO IN FORMAZIONE

Nessuna

PROVE DI STRATO IN COLONNA

Nessuna

ANALISI

Analisi riferita al pozzo di Edmond 1 con F.P. a m 915.

Campione di acqua prelevato durante la circolazione:

colore: giallastro

Luce di Wood: fluor. grigio-azzurra media.

Peso specifico a 15°C: 1,0340 (Be' 4,77

pH: 7,70

Resistività a 20°C: 0,17

Salinità, NaCl:38,9 g/l

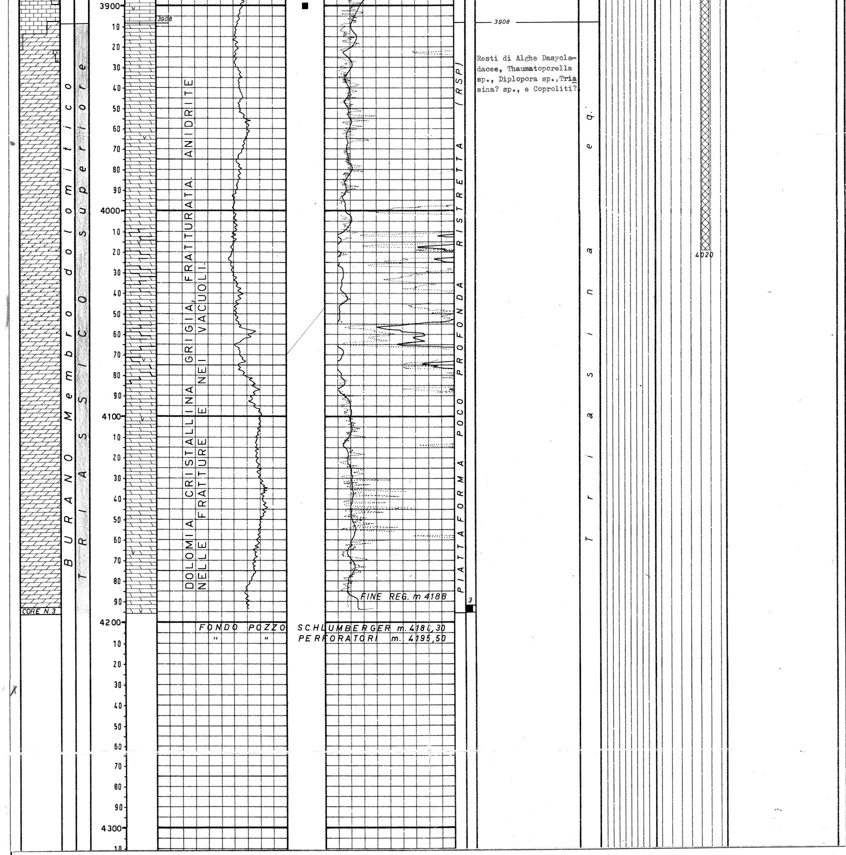

ANNOTAZIONI

GEOLOGICHE

Per la parte geologica, si rimanda alla "Relazione Finale" parte III°.

MINERARIE

Il pozzo, risultato sterile, è stato abbandonato previa chiusura mineraria con tappi di cemento.

TECNICHE

Poichè il taglio per il recupero guide frame è risultato negativo, per il suo successivo ricupero, è stata lasciata ancorata sulla testa pozzo una boa luminosa fosforescente in materiale plastico di colore verde.